

УДК 54-165+621.785.36+537.31

## СВОЙСТВА ТВЕРДЫХ РАСТВОРОВ $Nd_{1-x}Gd_xCoO_3$

© 2004 г. С. В. Курган, Г. С. Петров, Л. А. Башкиров, А. И. Клындюк

Белорусский государственный технологический университет, Минск

Поступила в редакцию 27.02.2004 г.

Керамическим методом получены  $NdCoO_3$ ,  $GdCoO_3$  и твердые растворы  $Nd_{1-x}Gd_xCoO_3$  ( $x = 0.1\text{--}0.9$ ). Определены параметры их кристаллической решетки. В интервале температур 300–1110 К на воздухе изучены их электропроводность и термическое расширение. Установлено, что все исследованные твердые растворы имеют структуру орторомбически искаженного перовскита. Для всех твердых растворов обнаружены аномалии электропроводности и термического расширения, соответствующие фазовому переходу полупроводник–металл.

### ВВЕДЕНИЕ

Кобальтиты  $ACoO_3$  ( $A$  – редкоземельный или щелочноземельный элемент) и их твердые растворы со структурой перовскита известны достаточно давно и исследованы относительно полно [1–3]. Интерес к данным объектам обусловлен их высокой электропроводностью [4], особыми магнитными свойствами [5] и заметной электрохимической и катализитической активностью [6]. Установлено, что в кобальтитах лантана, неодима и гадолиния в интервале температур 320–860 К наблюдается фазовый переход типа полупроводник–металл, обусловленный переходом ионов кобальта из низкоспинового состояния  $Co^{3+}$  ( $t_{2g}^6 e_g^0$ ) в промежуточноспиновое  $Co^{3+}$  ( $t_{2g}^5 \sigma^{*1}$ ) [7–10]. Есть основания предполагать, что данные кобальтиты могут образовывать непрерывный ряд твердых растворов  $Ln'_{1-x}Ln''_x CoO_3$ , где  $Ln'$ ,  $Ln''$  – La, Nd, Gd. Однако в литературе отсутствуют сведения по систематическому комплексному исследованию двойных и тройных твердых растворов кобальтитов этих элементов. Известна единственная работа [11], в которой получены твердые растворы  $La_{1-x}Ln'_x CoO_3$  ( $Ln'$  – Sm, Ho),  $Sm_{1-x}Ln''_x$  ( $Ln''$  – Er, Yb) и определены их параметры кристаллической решетки.

Цель настоящей работы – определение параметров кристаллической решетки, исследование электропроводности и термического расширения образцов  $Nd_{1-x}Gd_xCoO_3$  ( $x = 0.00, 0.10, 0.25, 0.50, 0.75, 0.90, 1.00$ ) в интервале температур 300–1100 К.

### МЕТОДИКА ЭКСПЕРИМЕНТА

Образцы синтезировали по керамической технологии из оксидов неодима, гадолиния, кобальта высокой чистоты.

После первоначального обжига на воздухе при 1470 К в течение 10 ч полученные таблетки перемалывали в порошок. Для изучения электропроводности и дилатометрических измерений из полученного порошка под давлением 150 МПа прессовали таблетки диаметром 10 и толщиной 3 мм и бруски размером 5 × 5 × 30 мм, которые затем спекали на воздухе в течение 5 ч при 1470 К. РФА полученных образцов проводили на дифрактометре ДРОН-3 с использованием  $CuK_\alpha$ - или  $CoK_\alpha$ -излучения. Точность определения параметров кристаллической решетки составляла ±0.0005 нм.

Электропроводность спеченных поликристаллических таблеток измеряли на воздухе в интервале температур 300–1100 К на постоянном токе с использованием четырехзондового метода [12]. Термическое расширение полученных образцов  $Nd_{1-x}Gd_xCoO_3$  изучали на кварцевом дилатометре собственной конструкции, описанном в [12], при нагревании на воздухе в интервале температур 300–1100 К. Точность шкалы индикатора часового типа составляла 0.001 мм.

### РЕЗУЛЬТАТЫ И ИХ ОБСУЖДЕНИЕ

Согласно результатам РФА, все синтезированные образцы были однофазными. Параметры кристаллической структуры определяли при помощи программы FullProf методом Ритвельда. Из полученных дифрактограмм видно, что кобальтиты  $NdCoO_3$ ,  $GdCoO_3$  имеют орторомбически искаженную структуру перовскита, причем для  $GdCoO_3$  степень искажения выше, чем для  $NdCoO_3$ . Все твердые растворы  $Nd_{1-x}Gd_xCoO_3$  также имели структуру орторомбически искаженного перовскита. При этом степень орторомбического искажения увеличивалась по мере повышения содержания в них гадолиния, что наглядно проявляется в постепенном увеличении расщепления рентгеновских линий и увеличении интенсивности линии при  $2\theta = 26.4^\circ$  (рис. 1).



Рис. 1. Дифрактограммы  $\text{Nd}_{1-x}\text{Gd}_x\text{CoO}_3$  при  $x = 0$  (1), 0.1 (2), 0.25 (3), 0.5 (4), 0.75 (5), 0.9 (6), 1.0 (7).

Полученные данные (табл. 1) показывают, что замещение иона  $\text{Nd}^{3+}$  меньшим ионом  $\text{Gd}^{3+}$  приводит к нелинейному уменьшению параметров  $a$ ,  $c$  и к увеличению параметра  $b$  и степени орторомбического искажения  $\varepsilon = \frac{b-a}{a}$  элементарной ячейки твердых растворов  $\text{Nd}_{1-x}\text{Gd}_x\text{CoO}_3$ . Отметим, что рассчитанные параметры  $a$ ,  $b$ ,  $c$  (табл. 1) кристаллической структуры  $\text{GdCoO}_3$  хорошо согласуются с данными [7], а значения параметров  $a$ ,  $b$ ,  $c$  для  $\text{NdCoO}_3$  хорошо согласуются с данными [13].

Результаты измерения электропроводности образцов приведены на рис. 2. Видно, что для всех об-

разцов в интервале температур 400–800 К наблюдается достаточно размытый фазовый переход полупроводник–металл.

При нагревании исследованных твердых растворов происходит постепенный переход от полупроводникового типа проводимости к металлическому, при котором электропроводность увеличивается на 2–6 порядков. Наибольшей (и примерно равной) электропроводностью во всем исследованном температурном интервале обладают образцы  $\text{NdCoO}_3$  и твердого раствора  $\text{Nd}_{0.9}\text{Gd}_{0.1}\text{CoO}_3$ . Однако у них переход от полупроводниковой к металлической электропроводности приводит к значительно меньшему росту электропроводности, чем

**Таблица 1.** Параметры кристаллической решетки и степень орторомбического искажения ( $\varepsilon$ )  $\text{NdCoO}_3$ ,  $\text{GdCoO}_3$  и твердых растворов  $\text{Nd}_{1-x}\text{Gd}_x\text{CoO}_3$

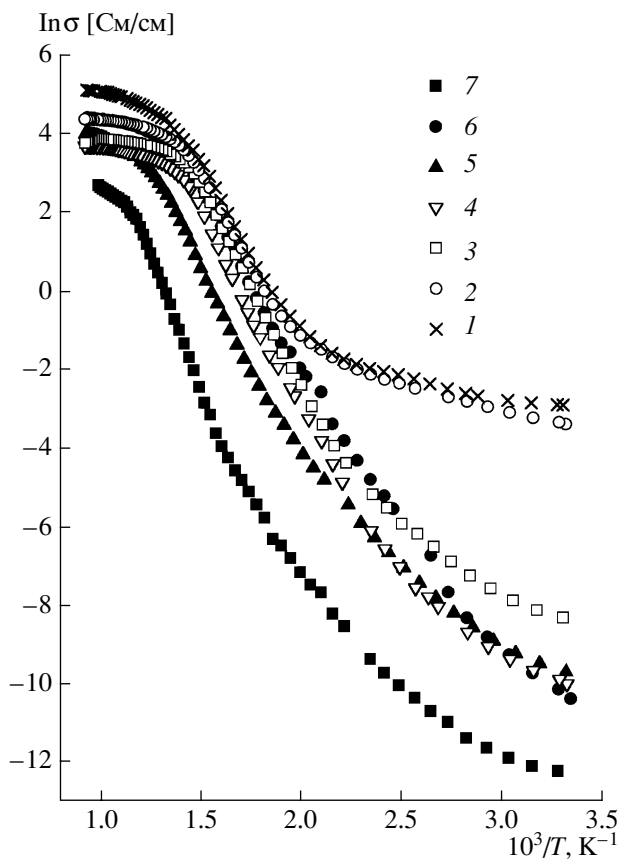
Состав	$a$ , нм	$b$ , нм	$c$ , нм	$\varepsilon \times 10^2$
$\text{NdCoO}_3$	0.5336	0.5328	0.7542	-0.150
$\text{Nd}_{0.9}\text{Gd}_{0.1}\text{CoO}_3$	0.5330	0.5332	0.7540	0.038
$\text{Nd}_{0.75}\text{Gd}_{0.25}\text{CoO}_3$	0.5334	0.5319	0.7527	-0.281
$\text{Nd}_{0.5}\text{Gd}_{0.5}\text{CoO}_3$	0.5290	0.5350	0.7508	1.134
$\text{Nd}_{0.25}\text{Gd}_{0.75}\text{Co}$	0.5262	0.5369	0.7481	2.033
$\text{Nd}_{0.1}\text{Gd}_{0.9}\text{CoO}_3\text{O}_3$	0.5232	0.5381	0.7462	2.848
$\text{GdCoO}_3$	0.5218	0.5390	0.7445	3.296

у других твердых растворов исследованной системы  $\text{NdCoO}_3\text{--GdCoO}_3$ .

На полученных нами температурных зависимостях удельной электропроводности (рис. 2), как и в других работах [4, 13, 14], сравнительно четко фиксируются температуры, при которых фазовый переход полупроводник–металл приближается к своему завершению, так как при этих температурах резко замедляется рост электропроводности. Для кобальтидов  $\text{GdCoO}_3$ ,  $\text{NdCoO}_3$  они соответственно равны 860 и 750 К.

Как видно из рис. 2, высокотемпературный фазовый переход полупроводник–металл у твердых растворов со структурой перовскита имеет место в сравнительно большом интервале температур (320–860 К) и протекает, вероятно, через ряд промежуточных стадий. Поскольку полученные зависимости  $\ln\sigma(1/T)$  не были линейными во всем исследованном интервале температур, они были разбиты на 3 прямолинейных участка, по которым определены энергии активации проводимости (табл. 2), соответствующие определенному электронному состоянию ионов кобальта. Первый – низкотемпературный (для исследованного интервала температур) линейный участок характеризует поведение электропроводности полупроводникового кобальтида  $\text{Nd}_{1-x}\text{Gd}_x\text{CoO}_3$  ниже температуры начала интенсивного перехода ионов кобальта из низкоспинового состояния ( $t_{2g}^6 e_g^0$ ) в промежуточное ( $t_{2g}^5 \sigma^{*1}$ ). К сожалению, для большинства исследованных нами кобальтидов  $\text{Nd}_{1-x}\text{Gd}_x\text{CoO}_3$ , за исключением  $\text{NdCoO}_3$ ,  $\text{Nd}_{0.9}\text{Gd}_{0.1}\text{CoO}_3$ , этот участок выявляется не очень четко, так как расположен вблизи комнатной температуры и ему принадлежит лишь небольшое число экспериментально измеренных величин электропроводности. В табл. 2 энергия активации электропроводности, определенная в этой области температур, обозначе-

на как  $E_{a_1}$ . Затем следует область температур фазового перехода полупроводник–металл. Энергия активации, определенная по прямой, проведенной через большинство экспериментальных точек в интервале температур фазового перехода полупроводник–металл, обозначена как  $E_{a_2}$  (табл. 2). Энер-

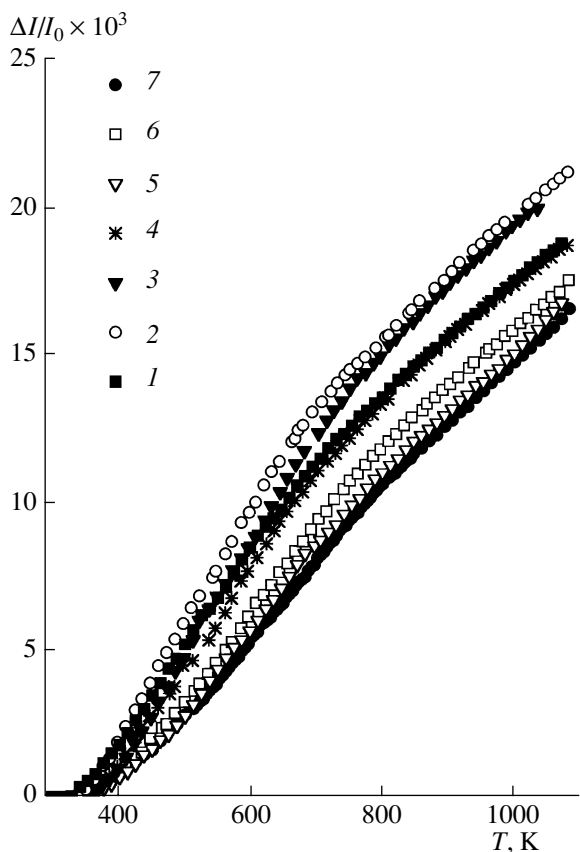


**Рис. 2.** Температурные зависимости удельной электропроводности  $\text{Nd}_{1-x}\text{Gd}_x\text{CoO}_3$  при  $x = 0$  (1), 0.1 (2), 0.25 (3), 0.5 (4), 0.75 (5), 0.9 (6), 1.0 (7).

**Таблица 2.** Значения энергии активации электропроводности ( $E_a$ ) в уравнении  $\sigma = \sigma_0 \exp(-E_a/(RT))$  для NdCoO<sub>3</sub>, GdCoO<sub>3</sub> и твердых растворов Nd<sub>1-x</sub>Gd<sub>x</sub>CoO<sub>3</sub>

Состав	$T_1$ , К	$T_2$ , К	$E_a$ , эВ		
			$E_{a_1}$	$E_{a_2}$	$E_{a_3}$
NdCoO <sub>3</sub>	340	750	0.039	0.840	0.048
Nd <sub>0.9</sub> Gd <sub>0.1</sub> CoO <sub>3</sub>	325	735	0.085	0.800	0.023
Nd <sub>0.75</sub> Gd <sub>0.25</sub> CoO <sub>3</sub>	350	680	0.152	0.881	0.063
Nd <sub>0.5</sub> Gd <sub>0.5</sub> CoO <sub>3</sub>	360	750	0.201	0.856	0.018
Nd <sub>0.25</sub> Gd <sub>0.75</sub> CoO <sub>3</sub>	365	830	0.261	0.916	0.076
Nd <sub>0.1</sub> Gd <sub>0.9</sub> CoO <sub>3</sub>	345	750	0.339	0.810	0.061
GdCoO <sub>3</sub>	390	860	0.272	1.18	0.291

гия активации  $E_{a_3}$  рассчитана для области температур выше температуры  $T_2$ , при которой начинается резкое замедление роста электропроводности, так как процесс перехода в металлическое состояние почти завершен (хотя и не полностью).



**Рис. 3.** Температурные зависимости относительного удлинения образцов Nd<sub>1-x</sub>Gd<sub>x</sub>CoO<sub>3</sub> при  $x = 0$  (1), 0.1 (2), 0.25 (3), 0.5 (4), 0.75 (5), 0.9 (6), 1.0 (7).

Видно, что величины  $E_{a_1}$ ,  $E_{a_2}$ ,  $E_{a_3}$  возрастают незначительно с увеличением содержания Gd<sup>3+</sup> в образцах Nd<sub>1-x</sub>Gd<sub>x</sub>CoO<sub>3</sub>, при этом для GdCoO<sub>3</sub>, NdCoO<sub>3</sub> они несколько больше, чем приведенные в [1].

Результаты измерения термического расширения приведены на рис. 3. На температурных зависимостях относительного удлинения образцов наблюдаются аномалии (изломы), связанные с фазовым переходом полупроводник–металл.

На основании дилатометрических данных рассчитаны величины среднего линейного коэффициента термического расширения ( $\alpha$ ) образцов для различных температурных интервалов, которые имеют такую же природу, как и интервалы температур на зависимостях  $\ln\sigma(1/T)$  (табл. 3). Коэффициенты  $\alpha_1$ ,  $\alpha_2$ ,  $\alpha_3$ , приведенные в табл. 3, отвечают состояниям соответственно до температуры  $T_1$  – начала фазового перехода полупроводник–металл; интервалу температур, в котором протекает этот фазовый переход, и выше температуры  $T_2$ , т.е. в металлическом состоянии. Коэффициенты  $\alpha_1$  твердых растворов с  $x > 0.5$ , в ~2 раза меньше, чем  $\alpha_1$  у твердых растворов, богатых неодимом. В металлическом состоянии все исследованные кобальтиты имеют приблизительно одинаковые коэффициенты термического расширения  $\alpha_3$ . Коэффициенты термического расширения ( $\alpha_2$ ) исследованных кобальтитов в интервале температур  $T_1-T_2$ , т.е. в интервале температур фазового перехода полупроводник–металл, несколько выше величин  $\alpha_1$  и  $\alpha_3$ , отвечающих соответственно состояниям до и после этого фазового перехода. Сравнение температур  $T_1$ , определенных по зависимостям  $\ln\sigma(1/T)$  (табл. 2) и  $\Delta l/l_0(T)$  (табл. 3), показывает, что они для твердых растворов одинакового состава отличаются не более чем на 50 К. При этом для всех исследованных кобальтитов значения температур  $T_1$ , определенные по элект-

**Таблица 3.** Средние значения коэффициентов линейного термического расширения ( $\alpha_1$ ,  $\alpha_2$ ,  $\alpha_3$ ) для  $\text{NdCoO}_3$ ,  $\text{GdCoO}_3$  и твердых растворов  $\text{Nd}_{1-x}\text{Gd}_x\text{CoO}_3$

Состав	$\alpha_1 \times 10^5$ , $\text{K}^{-1}$	$T_1$ , К	$\alpha_2 \times 10^5$ , $\text{K}^{-1}$	$T_2$ , К	$\alpha_3 \times 10^5$ , $\text{K}^{-1}$
$\text{NdCoO}_3$	2.22	385	3.24	700	1.97
$\text{Nd}_{0.9}\text{Gd}_{0.1}\text{CoO}_3$	2.71	370	3.81	695	2.09
$\text{Nd}_{0.75}\text{Gd}_{0.25}\text{CoO}_3$	1.72	390	3.72	745	2.17
$\text{Nd}_{0.5}\text{Gd}_{0.5}\text{CoO}_3$	1.98	400	3.35	710	2.06
$\text{Nd}_{0.25}\text{Gd}_{0.75}\text{CoO}_3$	1.23	395	2.92	720	2.12
$\text{Nd}_{0.1}\text{Gd}_{0.9}\text{CoO}_3$	1.34	385	2.88	785	1.94
$\text{GdCoO}_3$	1.07	400	2.70	790	2.04

ропроводности, были ниже, чем определенные по тепловому расширению. Приблизительно на такую же величину отличаются и температуры  $T_2$ , определенные по электропроводности и тепловому расширению для твердых растворов с  $x > 0.5$ . При этом для всех исследованных твердых растворов  $\text{Nd}_{1-x}\text{Gd}_x\text{CoO}_3$  величины температур  $T_2$ , определенные по тепловому расширению, постепенно увеличиваются при повышении содержания гадолиния. Такая же закономерность прослеживается и для значений  $T_2$ , определенных по электропроводности, но с отдельными исключениями.

Меньшая величина  $\alpha$  для  $\text{GdCoO}_3$  по сравнению с  $\text{NdCoO}_3$  может быть связана с упрочнением связи между ионами металла и кислорода за счет уменьшения межионного расстояния. По этой же причине удельная электропроводность  $\text{GdCoO}_3$  на несколько порядков меньше электропроводности  $\text{NdCoO}_3$ .

## ЗАКЛЮЧЕНИЕ

Керамическим методом получены  $\text{NdCoO}_3$ ,  $\text{GdCoO}_3$  и твердые растворы  $\text{Nd}_{1-x}\text{Gd}_x\text{CoO}_3$  ( $x = 0.1-0.9$ ), определены параметры их кристаллической решетки. В интервале температур 300–1110 К на воздухе изучены их термическое расширение и электропроводность.

Установлено, что все твердые растворы имеют структуру орторомбически искаженного пировскита. Для всех исследованных образцов обнаружены аномалии электропроводности и термического расширения, соответствующие фазовому переходу полупроводник–металл.

Значения температуры начала фазового перехода и энергии активации проводимости полупроводниковой фазы в области температур фазового перехода увеличиваются с ростом  $x$ .

Обнаружено значительное увеличение среднего термического коэффициента линейного расши-

рения твердых растворов в области фазового перехода по сравнению с величинами для этих фаз до начала и после завершения фазового перехода.

Авторы благодарят И.О. Троянчука за помощь в обработке рентгеновских данных и обсуждении результатов.

Работа выполнена при финансовой поддержке МНТЦ (проект В-625).

## СПИСОК ЛИТЕРАТУРЫ

- Пальгуев С.Ф., Гильдерман В.К., Земцов В.И. Высокотемпературные оксидные электронные проводники для электрохимических устройств. М.: Наука, 1990. 198 с.
- Хартон В.В. Дис. ... канд. хим. наук. Минск, 1993. 185 с.
- Вашук В.В. Дис. ... докт. хим. наук. Минск, 2000. 310 с.
- Черепанов В.А., Петров А.Н., Кропанев А.Ю. и др. Электрические свойства двойных оксидов РЗЭ и кобальтита состава  $\text{RCO}_3$  // Журн. физ. химии. 1981. Т. 55. № 7. С. 1856–1857.
- Aso K., Miyahara S. The Crystal Structure and Magnetic Property of  $\text{GdCoO}_3$  // J. Phys. Soc. Jpn. 1964. V. 19. № 4. P. 778–779.
- Хартон В.В., Наумович Е.Н., Жук П.П. и др. Физико-химические и электрохимические свойства электродных материалов  $\text{Ln}(\text{Sr})\text{CoO}_3$  // Электрохимия. 1992. Т. 28. № 12. С. 1693–1702.
- Bhide V.G., Rajoria D.S. Mossbauer Studies of the High-Spin-Low-Spin Equilibria and the Localized-Collective Electron Transition in  $\text{LaCoO}_3$  // Phys. Rev. 1972. V. 6. № 3. P. 1021–1032.
- Senaris-Rodriguez M.A., Goodenough J.B. Magnetic and Transport Properties of the System  $\text{La}_{1-x}\text{Sr}_x\text{CoO}_{3-\delta}$  ( $0 < x \leq 0.5$ ) // J. Solid State Chem. 1995. V. 118. № 2. P. 323–336.
- Itoh Masayuki, Hashimoto Junichi, Yamaguchi Shinya, Tokura Yoshinori. Spin State and Metal-Insulator Transition in  $\text{LaCoO}_3$  and  $\text{RCO}_3$  ( $\text{R} = \text{Nd}, \text{Sm}$  and  $\text{Eu}$ ) // Physica B. 2000. V. 281 & 282. P. 510–511.

10. Sudheendra L., Motin Sheikh Md., Raju A.R., Narayana Chandrabhas. An Infrared Spectroscopic Study of the Low-Spin to Intermediate-Spin State ( $^1A_1 - ^3T_1$ ) Transition in Rare Earth Cobaltates,  $\text{LnCoO}_3$  (Ln = La, Pr and Nd). // Chem. Phys. Lett. 2001. V. 340. P. 275–281.
11. Sadaoka Y., Sakamoto M., Nunziante P., Gusmano G. Rare Earth Perovskite-Type Oxides Containing Three Metal Elements from the Decomposition of Heteronuclear Complexes // Proc. Int. Conf. on Electronic Ceramics and Application “Electroceramics V”. Portugal: University of Aveiro, 1996. V. 2. P. 421–424.
12. Petrov G.S., Clyndyuck A.I., Massyuck S.V. et al. Thermal Expansion and Electrical Conductivity of Some High-Temperature Superconductor Solid Solutions of Type 123 // High Temp. – High Pressures. 1998. V. 30. P. 483–488.
13. Bahadur D. Spin-State Equilibrium in  $\text{LuCoO}_3$  // Indian J. Chem., Sect. A. 1976. V. 14. P. 204–206.
14. Rao C.N.R., Parkash O., Bahadur D., Ganguly P. Itinerant Electron Ferromagnetism in  $\text{Sr}^{2+}$ -,  $\text{Ca}^{2+}$ -, and  $\text{Ba}^{2+}$ -Doped Rare-Earth Orthocobaltites ( $\text{Ln}_{1-x}^{3+}\text{M}_x^{2+}\text{CoO}_3$ ) // J. Solid State Chem. 1977. V. 22. № 3. P. 353–360.